

DOI: <https://doi.org/10.36233/0507-4088-266S>

**Приложение к статье:** Тюлько Ж.С., Фадеев А.В., Василенко А.Г., Градобоева Е.А., Якименко В.В., Комиссаров А.Б. Анализ изменений в геноме вируса омской геморрагической лихорадки (*Flaviviridae, Orthoflavivirus*) при лабораторных практиках сохранения вируса. DOI: <https://doi.org/10.36233/0507-4088-266> EDN: <https://elibrary.ru/zfqkev>

**Supplementary to the article:** Tyulko Zh.S., Fadeev A.V., Vasilenko A.G., Gradooboeva E.A., Yakimenko V.V., Komissarov A.B. Analysis of changes in the genome of the Omsk hemorrhagic fever virus (*Flaviviridae: Orthoflavivirus*) during laboratory practices for virus preservation. DOI: <https://doi.org/10.36233/0507-4088-266> EDN: <https://elibrary.ru/zfqkev>

**Таблица S1.** Последовательности праймеров для полногеномной амплификации вируса ОГЛ

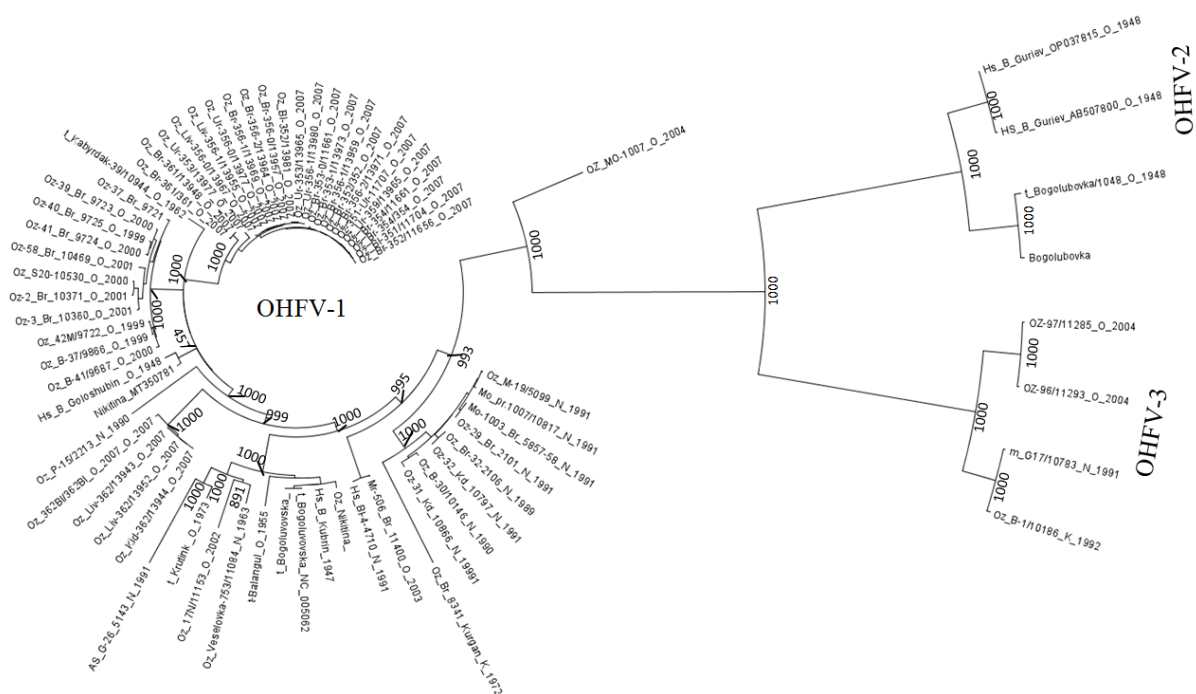
**Table S1.** Primer sequences for genome-wide amplification of the OHF virus

Праймер Primer	Последовательность Sequence	Позиция 5' 5' position	Длина Length
OHFV-F1	AGATTTCCTTGCACGTGCGTG	1	21
OHFV-R1	GCGTCACGCGTGTGTTTC	1039	18
	Ампликон 1 Amplicon 1		1039
OHFV-F2	TTGTCATYGTRKCAGCAMTGCTCT	929	24
OHFV-R2	CACAGCCCTGACRGGTATTCT	2007	21
	Ампликон 2 Amplicon 2		1079
OHFV-F3	CYTGTGAGGTGGGRCTGGAAA	1838	21
OHFV-R3	TTCTYCTCTTKCCAGTGGACACT	2911	24
	Ампликон 3 Amplicon 3		1047
OHFV-F4	ARGACATRAAAATCTCCTGGAAGA	2789	24
OHFV-R4	TTARACTCTRCGCARCACAAACG	3820	24
	Ампликон 4 Amplicon 4		1032
OHFV-F5	GGRTGACATTCAYCTYGAGCT	3707	22

OHFV-R5	CTCCYCTAGTCACRTGCCAC	4774	20
	Ампликон 5 Amplicon 5		1068
OHFV-F6	GCCAGCCYTTCGAGGTCAGA	4643	20
OHFV-R6	GCTGTCCGCCCTCRTACT	5693	19
	Ампликон 6 Amplicon 6		1051
OHFV-F7	GCAYTRGYTTGATGACAGCAAC	5545	23
OHFV-R7	CYCTCTCTGCCATYTTCATTGC	6598	22
	Ампликон 7 Amplicon 7		1054
OHFV-F8	YGGRGRCATGCTGAYRGGAATGT	6468	23
OHFV-R8	ATGGTCCAGAGCGTRTCAGC	7565	20
	Ампликон 8 Amplicon 8		1098
OHFV-F9	GYTYATGTCTGTGGTTYTGAACC	7451	24
OHFV-R9	TGTCYCTRTCCACRTGCCA	8561	20
	Ампликон 9 Amplicon 9		1111
OHFV-F10	GCCAGARATRGACCTRGGAGTG	8427	22
OHFV-R10	CTCGYTGGTCCCCTGTCTGTG	9469	20
	Ампликон 10 Amplicon 10		1043
OHFV-F11	GCGYYACATGGAAGGTGAACACA	9330	23
OHFV-R11	TTGAGCTCTCYAYTTGAGCTCC	10369	23
	Ампликон 11 Amplicon 11		1040
OHFV-F12	AARRAACATCTGGGGAGCAGTG	10248	22
OHFV-R12	AGCGGGTGTGTTCCGAGTC	11085	20
	Ампликон 12 Amplicon 12		838

**Рис. S1.** Филогенетическое дерево, построенное по полной кодирующей части нуклеотидной последовательности вирусов ОГЛ с учетом сайтов, входящих в схему связанных замен. В узлах указаны значения бутстреп-поддержки. Указана принадлежность последовательностей к основным подтипам вируса ОГЛ: OHFV-1, OHFV-2, OHFV-3.

**Fig. S1.** Phylogenetic tree constructed based on the coding part of the nucleotide sequence of OHF viruses, taking into account the sites included in the pattern of linked substitutions. Bootstrap values are indicated for tree nodes. The sequences belong to the main subtypes of the OHF virus: OHFV-1, OHFV-2, OHFV-3.



**Рис. S2.** Филогенетическое дерево, построенное по кодирующей части нуклеотидной последовательности вирусов ОГЛ без учета сайтов, входящих в схему связанных замен. В узлах указаны значения бутстреп-поддержки. Указана принадлежность последовательностей к основным подтипам вируса ОГЛ: OHFV-1, OHFV-2, OHFV-3.

**Fig. S2.** Phylogenetic tree constructed based on the coding part of the nucleotide sequence of OHF viruses, viruses without taking into account the sites included in the pattern of linked substitutions. Bootstrap values are indicated for tree nodes. The sequences belong to the main subtypes of the OHF virus: OHFV-1, OHFV-2, OHFV-3.

